

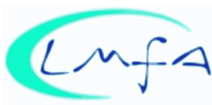
Calcul intensif pour l'étude de la transition turbulente en canal plan,

J. Montagnier¹, M. Buffat¹, L. Le Penven¹, A. Cadiou¹

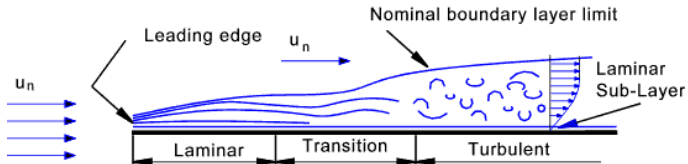
¹Université de Lyon, Université Lyon I, CNRS, ECL, INSA Lyon

CIRA 2011

Rhône-Alpes^{Région}



Boundary Layer transition



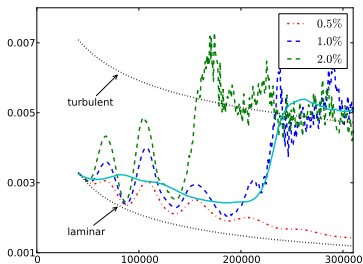


Figure: Instantaneous C_f versus Re_x for different levels of perturbations

- Increase of drag (aerodynamic of airplanes / car / gas turbine blades...) and pressure fluctuations (cavitation, ...)

Complex problem / classical stability theory fails

By pass transition induced by Free Stream Turbulence

By Pass transition



Free stream perturbation



Non modal growth of BL streaks



Secondary Instability of streaks



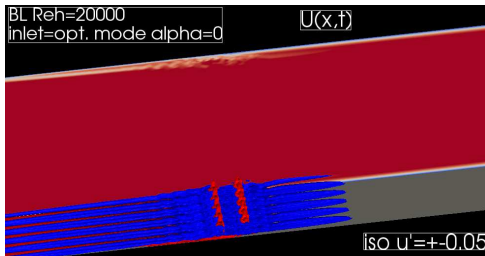
Turbulent spots



Turbulence

- Zaki & Durbin JFM 2005, Durbin & Wu Annual Review 2007, Schlatter et al. POF 2008

Study Objectives



Stability analysis

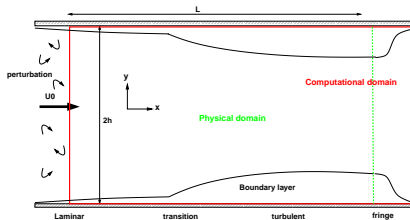
- Better understanding of by-pass transition
- Study varicose and sinuous instabilities

Numerical experiments

- Well controlled perturbations (linear stability)
- Parametric studies

Numerical setup

Channel flow with thin boundary layers $Re_h = 20000$



Requirements

- high accuracy \rightarrow DNS with spectral method
- Fourier in (x, z) and Chebyshev in y
- $\delta_0 \ll h \ll L$
- parametric studies with moderate resolutions ($\sim 10^7$ modes)
- high resolutions simulations ($\sim 10^9$ modes)

NadiaSpectral code

Orthogonal decomposition of the velocity

$$\mathbf{U} = \mathbf{U}_{os}(v) + \mathbf{U}_{sq}(\omega) \quad \text{with } \mathbf{U}_{os} \perp_{L_2} \mathbf{U}_{sq}, \quad \nabla \cdot \mathbf{U}_{os} = \nabla \cdot \mathbf{U}_{sq} = 0$$

- Optimal representation of a solenoidal velocity field
- Elimination of the pressure
- Spectral accurate Galerkin formulation using a Fourier-Chebyshev approximation
- **M. Buffat, L. Le Penven, A. Cadiou** : “An efficient spectral method based on an orthogonal decomposition of the velocity for transition analysis in wall bounded flow”, Computer & Fluids, 2011

Orthogonal decomposition

Fourier approximation in (x, z) , Chebyshev in y

- Orthogonal decomposition of the velocity fields with $N \times M \times P$ modes

$$\mathbf{U}(x, y, z, t) = \sum_{m=-M/2}^{M/2} \sum_{p=-P/2}^{P/2} \left[\sum_{j=0}^{N-1} \alpha_{OS,j}^{mp} \mathbf{u}_{OS,j}^{mp} + \sum_{j=0}^{N-1} \alpha_{SQ,j}^{mp} \mathbf{u}_{SQ,j}^{mp} \right]$$

- $2M \times P$ differential equations **with sparse matrices** (7D)
- time integration with **Crank Nicholson/Adams Bashford** scheme

Problématique de la parallélisation

- A chaque pas en temps :

$$A\alpha_j^{mp} = b$$

- Matrice A calculée dans l'espace spectrale.

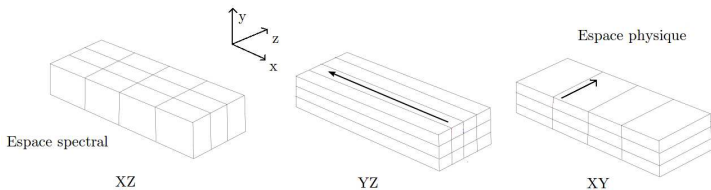
Difficulté : calcul du 2nd membre b (non linéaires)

- Produit de convolution entre coefficients spectraux : couplage entre tout les α_j^{mp}
- Nécessité d'utiliser des FFT pour passage dans l'espace physique (FFT Cheb axe y , FFT 1D axe x et z)
- Bibliothèques classiques // de calcul des FFT multidimensionnelles non adaptées ($M \gg P, N$)
- Transposition de données pour calculer efficacement les FFT multidimensionnelles

Architecture hybride des calculateurs HPC

- Objectif : $\approx 10\,000$ coeurs

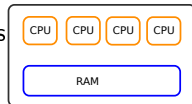
Partitionnement : localisation des données pour $M \gg N, P$



- Partitionnement XZ : calcul de A et résolution du système linéaire, Transformée Chebyshev
- Partitionnement YZ : FFT selon l'axe x
- Partitionnement XY : FFT selon l'axe y

Multithreading

- Multithreading : mieux utiliser les architectures actuelles
- Gain : réduction du nombre de processus MPI
 - Diminution du nombre de communications
 - Gain en mémoire (BLUEGENE)
- Approche classique : Boucle *#pragma omp for (int i = 0; i < n; i++)*
- Problème **temps de création des threads important** pour des boucles rapides ($20\mu s$).
- Approche multi-threading haut niveaux



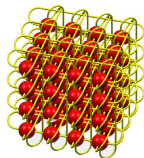
Optimisation du code

- Réécriture du calcul des fft2D à partir du partitionnement introduit et des routines de calcul fft1D (provenant de la librairie fftw3).
- **Division par 2 des communications** en calculant les termes non linéaires dans l'espace physique partitionné différemment de l'espace spectral.
- **Arrangement des données optimales** pour chaque partitionnement (JKI pour XZ) pour une meilleure utilisation du cache.
- Multithreading haut niveaux
- Structure du code qui permet une certaine souplesse dans le placement des processeurs (mapping)

Influence du mapping

Mapping : comment placer les processeurs sur la machine de manière optimale ?

- Impact considérable sur les performances
- Réalisation de tests de placement et comparaison des performances
- Variation des performances jusqu'à 50 % sur 8096 coeurs sur BLUE GENE



Efficacité parallélisation

- Test de speed up et scale up
- Speed up :
 - Taille du problème données, variation du nombre de coeurs
 - Speed Up : $\frac{temp(nproc_{ref})}{temps(nproc)}$
 - Efficacité speed up : $\frac{speed\ up}{speed\ up\ idéal}$
- Calcul Méso centre pour études paramétriques

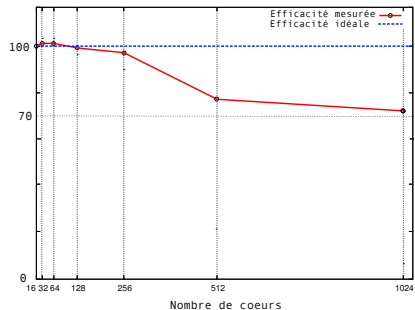
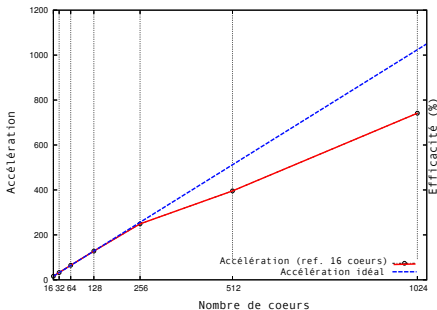


Figure: $192 \times 96 \times 768 = 14 \times 10^6$ modes

Efficacité parallélisation

- Calcul très précis sur centre nationaux (IDRIS) BLUE GENE (40 % des 40 960 coeurs)

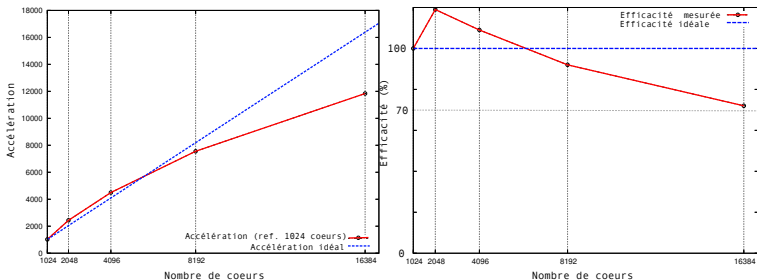
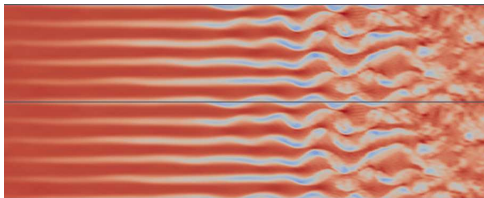


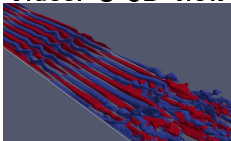
Figure: $4096 \times 512 \times 512 \approx 10^9$ modes

- 14×10^6 modes : 0.2 sec / iterations pour 1024 coeurs (13 824 modes / coeurs)
- 10^9 modes : 0.9 sec / iterations pour 16 384 coeurs (65 536 modes / coeurs)

Some numerical results on by-pass transition



Video: U 3D view



• **Video: U top view**



Conclusion

Ancienne version :

- Utilisation inefficace des multicoeurs.
- Inefficacité parallèle $> o(100)$ (limitée du nombre de processeurs par le nombre de points en x et y)

Nouvelle version :

- Augmentation du multithreading
- Diminution d'un facteur 2 du nombre de communications.
- Efficacité $o(10000)$ (calcul sur 16 384 coeurs $\approx 40\%$ BLUE GENE)

Outils performant pour l'étude de la transition de la couche limite

Details Multithreading

⇒ Approche multi-threading haut niveau :

```
#pragma omp for (int t =0; t < nthread; t++)
```

```
{
```

```
...
```

```
    // Calcul termes  $d^2/dy^2$ 
```

```
    int imin = t*n/nthread;
```

```
    int imax = (t+1)*n/nthread;
```

```
    for (int i = imin; i < imax; i++)
```

```
    {...
```

```
    }
```

```
    // Calcul fft axe y
```

```
    int imin = t*nfft_y/nthread;
```

```
    int imax = (t+1)*nfft_y/nthread;
```

```
    for (int i = imin; i < imax; i++)
```

```
    {...
```

```
    }
```

```
...
```

```
}
```

```
...
```

```
    // Calcul termes  $d^2/dy^2$ 
```

```
    #pragma omp for (int i=0; i < n; i++)
```

```
    {
```

```
    }
```

```
    // Calcul fft axe y
```

```
    #pragma omp for (int i=0; i < nfft_y; i++)
```

```
    {
```

```
    }
```

```
...
```

- Problèmes rencontrés :

- Directive de reduction (maximum et minimum) non supporté pour certaines implémentations d'openmp
- Certaines implémentations du code interdise l'utilisation de barrier de synchronisation de thread → recodage d'une barrier (#pragma omp barrier)